

شبیه سازی دینامیک تولید نوترون در واکنش های شکافت واداشته یون سنگین با استفاده معادلات لانگوین سه پارامتری

محمد رضا پهلوانی* ، سید مهدی میرفثی†

گروه فیزیک، دانشکده علوم پایه، دانشگاه مازندران، بابلسر، کدپستی: ۱۴۶۷-۴۷۴۱۶

چکیده

در این مقاله وانگیختگی هسته مرکب حاصل از همجوشی یونهای سنگین را از دیدگاه کلاسیکی و با حل معادلات لانگوین سه پارامتری بررسی می کنیم. از آنجا که دینامیک اتلاف انرژی در جریان این واکنش با گسیل ذرات سبک در ارتباط است، لذا ما با شمارش متوسط تعداد نوترونهای گسیلی از هسته مرکب و همچنین پاره های نامتقارن نوظهور با کمک شبیه سازی مونت کارلو، سعی در ارائه دیدگاهی نو در توجیه روند اتلاف انرژی تحریکی سیستم تحت بررسی داریم. مقایسه با داده های تجربی توافق خوبی را نشان می دهد.

کلید واژه: شکافت واداشته، نوترون، مونت کارلو، لانگوین

۱- مقدمه

با وجود گذشت سالیان متمادی از دستیابی بشر به فن آوری شکافت و تحقیقات فراوانی که پیرامون آن صورت گرفته است، هنوز طبیعت این مکانیسم پیچیده هسته ای، برای محققین ناشناخته مانده است [۱-۳]. بررسی توزیع جرمی پاره ها در مسئله شکافت به دو صورت متقارن و نامتقارن انجام می گیرد. در هر کدام از این حالت ها توزیع انرژی جنبشی پاره ها، میزان انرژی از دست رفته به واسطه گسیل ذرات، تعداد ذرات باردار گسیلی، تعداد نوترونهای گسیل شده، میزان اشعه گامای گسیلی و بسیاری دیگر از ویژگی های هسته ای متفاوت خواهند بود. محاسبات صورت گرفته بر اساس نظریه های گوناگون، نشان دهنده نتایجی به مراتب متفاوت با داده های تجربی هستند، به طور مثال میزان نوترونهای گسیل شده ناشی از داده های تجربی بیشتر از نتایج مربوط به محاسبات تئوری است [۲-۴]. در این بررسی، سیستم هایی را به عنوان نمونه انتخاب کرده و در مسیر تحلیل واکنش همجوشی شکافت پیش روی آنها، با وارد کردن اثرات دینامیکی همچون اصطکاک، اتلاف و... (که خود توجیهی کوانتومی دارند) و با محدود کردن خود به گستره ای کلاسیکی و در عین حال با در نظر گرفتن حالت نامتقارن شکافت به عنوان چهره غالب در توزیع جرمی پاره های شکافت، سعی در ارائه دیدگاهی نوین برای مکانیسم گذار سیستم در طی واکنش های تحت

* E.mail: m.pahlavani@umz.ac.ir

† E.mail: m.mirfathi@umz.ac.ir

بررسی خواهیم داشت، تا بدان وسیله گوشه ای از تفاوت بین داده های تجربی و تئوری را برای تکثیر نوترون، اشعه گاما و... توجیه کنیم.

۲- مدل محاسباتی

مدل سازی مسائلی از این گونه بر اساس معادلات لانگوین و حل آنها با بهره گیری از شبیه سازی مونت کارلو شیوه ای بسیار متداول در بررسی چنین واکنش هایی است [۴-۶]. صورت کلی معادلات لانگوین برای حرکت یک ذره تحت تاثیر میدان نیروی خارجی به شکل زیر است [۶]:

$$\dot{q}_i = \frac{p_j}{m_{ij}}, \quad (1)$$

$$\dot{p}_i = -\frac{1}{2} p_j p_k \frac{\partial}{\partial q_i} \left(\frac{1}{m_{ij}} \right) - \frac{\partial F}{\partial q_i} - \eta_{ij} \frac{p_k}{m_{ij}} + R(t) \quad (2)$$

که در آن $\eta_{ij} \frac{p_k}{m_{ij}}$ که دارای تغییرات نسبتاً آرامی است و توصیف کننده اثر متوسط حمام حرارتی بر روی نوکلئون ها بوده اصطلاحاً اصطکاک نام دارد. q معرف مختصه های مربوط به شکل هسته (همچون کشیدگی) و p معرف تکانه مربوط به آن مختصه است. F نیروی آزاد و m اینرسی سیستم تحت بررسی است [10]. $R(t)$ که دارای افت و خیز های زیادی است وابسته به اثرات لحظه ای مربوط به برخورد نوکلئونها با حمام حررتی و به صورت کاملاً تصادفی در نظر گرفته می شود و میانگین آن صفر بوده و دارای توزیع احتمال مشخصی می باشد. دیدگاه پیش روی ما در این محاسبات کلاسیکی است و می دانیم در مکانیک کلاسیک، سیستم فیزیکی با یک پیکر بندی در فضای فاز که مختصات آن را مکان ها و تکانه های ذرات سیستم مشخص می کند، تعریف می گردد. *Cassian Ovaloids* [۷]، *funny hills* [۸] و چند جمله ای های لژاندر [۹]، از جمله شاخص بندی های مربوط به شکل هسته هستند که در راستای محاسبات دینامیکی شکل هسته در مختصات تجمعی به کار برده می شوند. ما در محاسبات خود از شاخص بندی *funny hills* بهره خواهیم برد که مشتمل بر سه کمیت (c, h, α) می باشد. که در این میان کمیت عدم تقارن α ، اساساً برای محاسبه توزیع انرژی و جرم پاره های شکافت به کار برده می شود. h معرف پنجره بین دو پاره و c نشانگر کشیدگی هسته مرکب خواهد بود. سطح هسته نیز تحت معادله زیر تعریف می گردد [۶]:

$$\rho_s^2(z) = \begin{cases} (c^2 - z^2)(A_s + B_{sh} z^2 / c^2 + \alpha z / c) & B_{sh} \geq 0 \\ (c^2 - z^2)(A_s + \alpha z / c) \exp(B_{sh} c z^2) & \text{Otherwise} \end{cases} \quad (3)$$

ضرایب مورد استفاده در معادلات فوق در منبع [۶] آمده است.

برای حل این معادله به دلیل وجود جمله رندمی با وابستگی تعریف نشده به زمان، نمی‌توانیم از شیوه‌های مرسوم همچون رانگه کوتاه بهره ببریم لذا باید از روش تحلیلی معادلات را حل کنیم [۶]. انرژی آزاد سیستم F می‌باشد که با در نظر گرفتن هسته به عنوان گاز غیر اندرکنشی به صورت زیر است [۱۰]:

$$F = V(c) - a(c) \times T^2$$

که $V(c)$ پتانسیل، $a(c)$ پارامتر چگالی تراز و T معرف دما می‌باشند. در این میان پارامتر چگالی تراز به صورت $a(c) = b_1 A + c_2 A^{2/3} B_s(c)$ ، تعریف می‌گردد. که در آن $b_1 = 0.073 \text{ MeV}^{-1}$ و $c_1 = 0.095 \text{ MeV}^{-1}$ می‌باشند، A عدد جرمی و B_s نیز مطابق روابط [۶] تعریف خواهد شد.

۳- روند محاسبات

برای حل معادله لانگوین باید شرایط اولیه پرتابه نمونه را با تکرارهای متوالی مشخص کرد تا بدان وسیله شرایط اولیه سیستم مرکب مشخص شود. سیستم‌های هسته‌ای تحت بررسی از آنجا که طی برخوردهای یونی سنگین شکل گرفته‌اند، منجر به گستره بزرگی از تکانه زاویه‌ای می‌گردند. بنابراین با کمک تابع توزیع اسپین هسته مرکب که در جریان روند محاسبات مدل اصطکاک سطحی، حاصل شده است، تکانه زاویه‌ای هسته مرکب حاصله را تخمین می‌زنیم که رابطه آن در منبع [۶] آمده است. مختصات پرتابه آغازین نیز، در نزدیکی حالت تعادلی در نظر گرفته می‌شود و لذا مقادیر اولیه c و p با نمونه‌گیری از توزیع ماکسولی به دست می‌آید. انرژی برانگیختگی سیستم مرکب، به صورت زیر تعریف می‌گردد

$$E^* = E_{\text{int}} + V(c) + p^2 / 2m \quad (5)$$

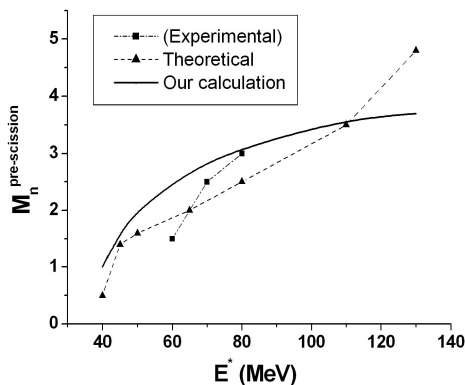
به کمک رابطه فوق E_{int} که انرژی تحریکی ذاتی را به دست می‌آوریم و به کمک مقدار حاصله و با بهره از رابطه $T = \sqrt{E_{\text{int}} / a(c)}$ می‌توان دمای هسته تحریکی را نیز محاسبه کرد. در ادامه گسیل نوترون و تابش اشعه گاما را وارد محاسبات می‌کنیم. برای انجام این مهم، ابتدا با پهنای واپاشی گسیل نوترون شروع می‌کنیم [۴]:

$$\Gamma_n = \frac{2m_n}{(\pi \hbar)^2 \rho_m(E_{\text{int}})} \int_0^{E_{\text{int}} - B_n} \rho_d(E_{\text{int}} - B_n - \epsilon_n) \times \epsilon_n \times \sigma_{\text{inv}} \times d\epsilon_n \quad (6)$$

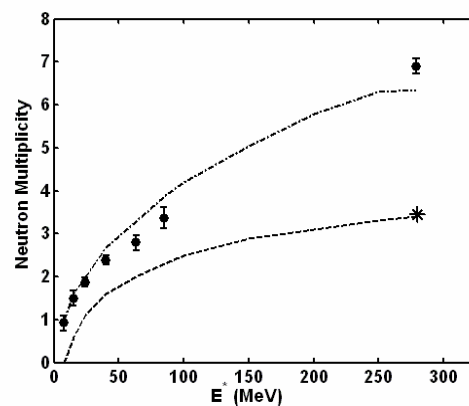
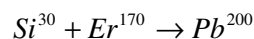
که در آن ρ_d و ρ_m چگالی‌های تراز هسته مادر (مرکب) و هسته دختر (هسته باقی مانده) در جریان واپاشی سیستم تحت بررسی می‌باشند. B_n انرژی بستگی نوترون بوده و ϵ_n انرژی نوترون گسیلی می‌باشد که از سیستم تحریکی خارج شده است. مقدار انرژی گسیلی نوترون در جریان هر پرتابه لانگوینی با بهره از رابطه پهنای واپاشی نوترونی به صورت کاتوره‌ای محاسبه می‌گردد. برای محاسبه پهنای واپاشی اشعه گاما از روابط موجود در منبع [۴] استفاده نمودیم. سپس با کمک گرفتن از پهنای گسیل به دست آمده، توانایی محاسبه احتمال گسیل ذره یا اشعه گاما در هر گام زمانی از محاسبات خود را

داریم. این عمل بدین صورت است که ابتدا کسر $x = \tau / \tau_{tot}$ که در آن $\tau_{tot} = \frac{\hbar}{\sum_v \Gamma_v}$ برای نوترون و گاما محاسبه می‌گردد. در ادامه عدد رندم r را در گستره $[0,1]$ انتخاب می‌کنیم، اگر $r < x$ بود، گسیل نوترون یا اشعه گاما حتمی خواهد بود. در نظر گرفتن گام‌های زمانی کوچک تضمین‌کننده نکته‌ای بسیار مهم است؛ در هر بازه زمانی حد اکثر یک ذره گسیل می‌شود. در حقیقت از گسیل ذرات بیشتر، در یک بازه زمانی اجتناب خواهیم کرد. اما اینکه چه نوع ذره‌ای گسیل می‌شود مسئله دیگری است، برای اینکار کسر وزنی را وارد محاسبات می‌کنیم، بدین صورت که با مقایسه عدد کاتوره‌ای r تولید شده در گستره $(0,1)$ با کسر وزنی Γ_v / Γ_{tot} و طی همان روال پیشین مشخص خواهد کرد که نوترون یا اشعه گاما گسیل خواهد شد. ضمن اینکه پس از گسیل نوترون یا اشعه گاما، انرژی ذاتی، اسپین و عدد جرمی هسته مرکب مجدداً محاسبه و تصحیح می‌گردند و این روال تا کاهش انرژی تحریکی به میزانی کمتر از انرژی بستگی نوترون ادامه خواهد داشت. به طور مثال با گسیل نوترون $1 \hbar$ و با تابش گاما $2 \hbar$ از اسپین کم می‌گردد.

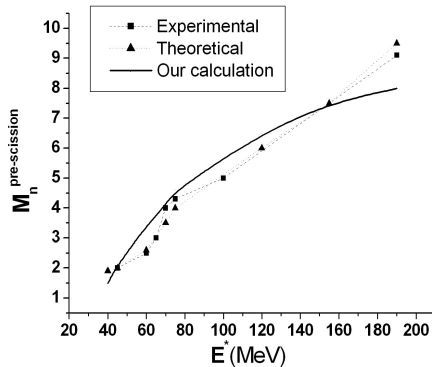
۴- نتایج



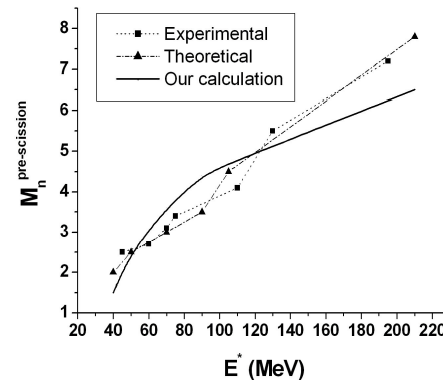
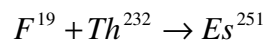
شکل ۲- میزان نوترون گسیلی قبل از نقطه جدایی نسبت به انرژی تحریکی برای سیستم



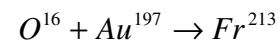
شکل ۱- تغییرات حالت‌های متفاوت تکثیر نوترونی نسبت به انرژی تکثیر نوترونی پیش و پس از نقطه جدایی مقایسه آنها با داده‌های تجربی برای Th^{224}



شکل ۲ - میزان نوترون گسیلی قبل از نقطه جدایی نسبت به انرژی تحریکی برای سیستم



شکل ۲- میزان نوترون گسیلی قبل از نقطه جدایی نسبت به انرژی تحریکی برای سیستم



۵- بحث و نتیجه گیری

در ادامه تکثیر نوترونی پس از نقطه جدایی (نقطه چین) و پیش از نقطه جدایی (نقطه - خط) را تحت حالت نامتقارن شکافت برای هسته مرکب Th^{224} محاسبه کرده و روند تغییرات آن را با داده های تجربی (علامت های ستاره و دایره) [۱۰] مقایسه کرده ایم که در شکل ۱ نشان داده شده است. مشاهده می گردد انرژی تحریکی هسته مرکب بر میزان تکثیر نوترونی پس از نقطه جدایی نیز تاثیر مشابه دارد. آنچه در این میان واضح است، نا محسوس بودن تاثیر تحریک شدگی در انرژی های بالاتر است و با رشد انرژی و گذار از سد کولومبی دیگر شاهد تغییرات مشهودی در آنها نخواهیم بود. از طرف دیگر با وجودی که انتظار می رفت آنچه تحت حالت نامتقارن شکافت حاصل می شود، تاثیری در میزان تکثیر نوترون پیش از جدایی نداشته باشد، اما میزان این شاخص از آنچه تحت همین مدل و بدون اعمال شاخص عدم تقارن در معادله لانگوین حاصل شده است، بیشتر است. در ادامه سه سیستم دیگر را بررسی کرده و تکثیر نوترونی پیش از جدایی را در گستره ای از انرژی های تحریکی محاسبه نمودیم. این سیستم ها عبارتند از: $F^{19} + Th^{232} \rightarrow Es^{251}$ و $O^{16} + Au^{197} \rightarrow Fr^{213}$ ، $Si^{30} + Er^{170} \rightarrow Pb^{200}$ نوترون پیش از جدایی، نسبت به انرژی تحریکی برای سیستم های فوق، در شکل های (۴ تا ۲) نشان داده شده است. در شکل ۲ نقاط نشان داده شده با مربع، معرف داده های تجربی [۱۱]، خط منقطع متصل کننده نقاط مثلثی، معرف نتایج دینامیکی در حالت متقارن [۱۱] و خط ممتد، نشان دهنده نتایج

محاسبات در حالت نامتقارن، برای هسته مادر اولیه، Pb^{200} می باشد. داده های تجربی [۱۲]، نتایج محاسبات پیشین تحت حالت متقارن [۱۱] و نتایج محاسبات در حالت نامتقارن برای هسته مادر Fr^{213} ، به ترتیب با نقاط مربع، مثلث و خط ممتد در شکل ۳ نشان داده شده است. در شکل ۴ نیز نقاط نشان داده شده با مربع، معرف داده های تجربی [۱۱]، نقاط مثلثی معرف نتایج دینامیکی در حالت متقارن [۱۱] و خط ممتد، نشان دهنده نتایج محاسبات در حالت نامتقارن، برای هسته مادر Es^{251} می باشد. در انرژی های تحریکی کم و خصوصاً در سیستم های سنگین تر، توافق به مراتب بهتری بین داده های تجربی، نتایج محاسبات پیشین و نتایج محاسبات ما برقرار است. اما با رشد انرژی تحریکی و در عین حال سبک تر شدن سیستم مرکب، تفاوت ها آشکارتر شده و نتایج از یکدیگر فاصله می گیرند.

مراجع:

- [1] D. Hilscher and H. Rossner, *Ann.Phys.Fr* 17, 471 (1992)
- [2] R. K. Choudhury, *Pramana Journal of Physics*, vol 57, Nos (2-3) (585) (2001)
- [3] D. J. Hinde *et al.*, *Phys. Rev. C* 45, 1229 (1992)
- [4] P. Frobrich and I. I. Gontchar, *Phys. Rep.* 292, 131 (1998)
- [5] G. Chaudhuri and S. Pal, *Phys. Rev. C* 65, 054612 (2002)
- [6] P. N. Nadtochy and G.D.Adeev, *Phys. Rev. C* 72, 054608 (2005)
- [7] V. V. Pashkevich, *Nucl. Phys. A* 169, 275 (1971)
- [8] M. Brack *et al.*, *Rev. Mod. Phys.* 44, 320 (1972)
- [9] N. Carjan *et al.*, *Nucl. Phys. A* 452,381 (1986)
- [10] G. Chaudhuri and S.Pal, *Phys. Rev. C* 3, 064603 (2001)
- [11] A. V. Karpov *et al.*, *Phys. Rev. C* 63, 054610 (2001)
- [12] V. E. Viola *et al.*, *Phys. Rev. C* 31, 1550 (1985)